



БИООРГАНИЧЕСКАЯ ХИМИЯ

том 11 * № 3 * 1985

УДК 547.962.02:577.112.5

ОГРАНИЧЕННЫЙ ТРИПСИНОЛИЗ α -АКТИНИНА И РАСПРЕДЕЛЕНИЕ СУЛЬФИДРИЛЬНЫХ ГРУПП ПО ФРАГМЕНТАМ МОЛЕКУЛЫ

*Куридзе К. П., Симонидзе М. Ш., Надирашвили Н. Ш.,
Заалишвили М. М.*

*Институт физиологии им. И. С. Беригашвили Академии наук ГССР,
Тбилиси*

Ингибиование α -актинина с трипсином приводит к образованию нескольких фрагментов с M_r 55 000, 38 000, 30 000 и 15 000, сравнительно устойчивых к дальнейшему действию протеиназы. Из пяти экспонированных остатков цистеина, модифицируемых N-эт酰алеимидом в полипептидной цепи субъединицы, два находятся во фрагменте с M_r 55 000, один — во фрагменте 30 000, а два, по-видимому, в участке полипептидной цепи, которая деградирует до мелких пептидов в результате действия трипсина. «Маскированные» SH-группы локализуются во фрагменте с M_r 30 000.

α -Актинин, первоначально обнаруженный в качестве минорного компонента скелетных мышц кролика [4], в настоящее время найден во всех мышечных и немышечных двигательных системах, которые были испытаны на его присутствие (например, [2—4]). α -Актинин из скелетных мышц кролика имеет $M_r \sim 200\,000$ и состоит из двух, скорее всего идентичных, полипептидных цепей [5]. Было показано, что α -актинины из сердечной мышцы крупного рогатого скота, скелетных мышц свиньи, мышцы желудка птиц, грудной мышцы птиц имеют одну и ту же C-концевую аминокислоту и ацетилированную N-концевую α -аминогруппу [6].

Бретнером с сотр. [7] было показано, что α -актинины из гладких и скелетных мышц цыплят значительно отличаются по иммунологическим и некоторым химическим свойствам. Более того, Кобаяши с сотр. [8] показали, что α -актинины из различных скелетных мышц также отличаются друг от друга. Существование разных форм α -актинина в скелетных мышцах обусловлено различиями в их первичной структуре. Эти различия должны быть небольшими, поскольку аминокислотные составы α -актининов из различных источников очень близки.

При определении сульфидрильных групп в α -актинине из сердечной мышцы крупного рогатого скота [5] и скелетных мышц кролика [9] в отсутствие денатурирующих агентов обнаруживаются шесть групп на 1 моль α -актинина (принимая для α -актинина M_r 200 000), а в денатурирующих условиях выявляется 16—18 сульфидрильных групп на молекулу и не обнаруживаются дисульфидные связи.

Ранее нами было показано [9,10], что при модификации трех-четырех SH-групп α -актинина на 60% уменьшается способность последнего увеличивать скорость полимеризации актина и создавать поперечные связи между α -актиновыми нитями. На основании этих данных можно предположить, что часть экспонированных SH-групп существенна для взаимодействия α -актинина с F-актином или для взаимодействия субъединиц α -актинина.

Данная работа посвящена изучению локализации экспонированных и «маскированных» сульфидрильных групп в отдельных фрагментах молекулы α -актинина из спинных мышц кролика. Нами использован метод ограниченного трипсинолиза, поскольку ранее было показано, что при

Сокращение: SDS — додецилсульфат натрия.

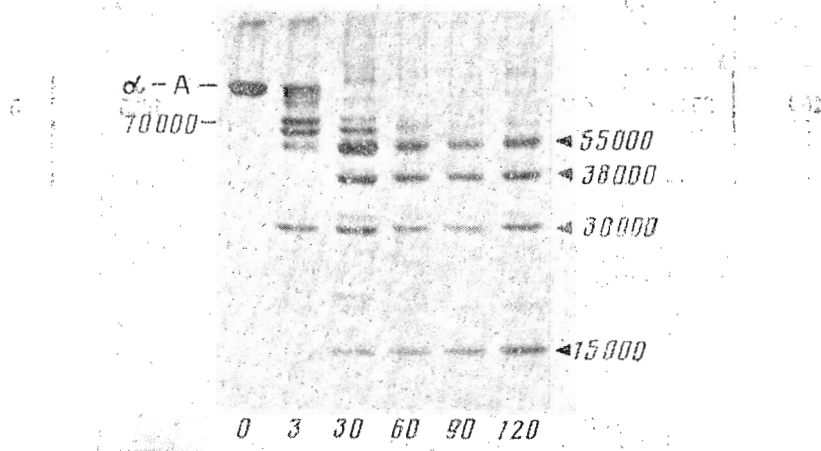


Рис. 1. Электрофорез в ПААГ в присутствии SDS смеси продуктов триптического гидролиза α -актинина (окрашивание кумасси бриллиантовым синим G-250). Цифры указывают время гидролиза в минутах. Концентрация белка 1,6 мг/мл в буфере, содержащем 0,5% NH_4HCO_3 (рН 8,1), 1 мМ EDTA, 2 мМ дитиотреит. Фермент-субстратное соотношение 1:30, 37° С

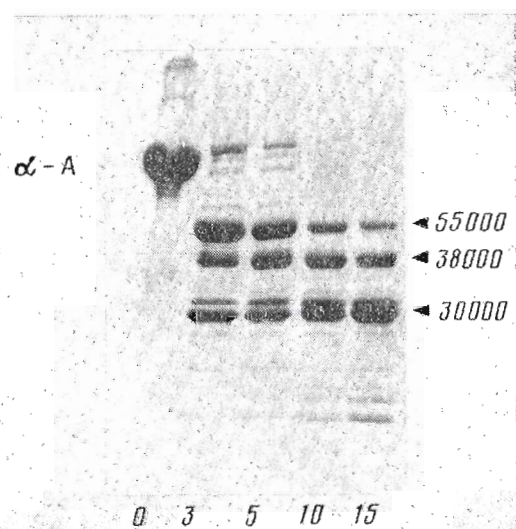


Рис. 2. Флуорография SDS-электрофоограммы в ПААГ продуктов трипсинолиза α -актинина, модифицированного N-этил-[^{14}C]малеимидом. Концентрация белка 2 мг/мл в буфере 0,1 М трис-HCl с 2 мМ EDTA, рН 8,0. Фермент-субстратное соотношение 1:50, 37° С (цифры указывают время гидролиза в минутах)

действии протеиназ на α -актинин в неденатурирующих условиях его молекула распадается на ограниченное число фрагментов [7].

На рис. 1 приведен ход триптического гидролиза α -актинина в зависимости от времени. Ход гидролиза мало зависит от концентрации α -актинина (0,5–2,5 мг/мл), фермент-субстратного соотношения (1:25–1:500), температуры реакции (25–43° С), а также от присутствия нейтральных солей и SH-защитных реагентов. В результате варьирования условий реакции изменяется скорость гидролиза α -актинина. Из кинетики гидролиза видно, что первоначально из исходной молекулы образуются фрагменты с M_r 70 000 и 30 000; последний наиболее устойчив к дальнейшему

Содержание экспонированных сульфидрильных групп во фрагментах ограниченного трипсинолиза α -актинина

Полипептид $M_r \cdot 10^{-3}$	Площадь пика по денситограмме	Количество вещества		Удельная радиоактивность		Количество SH-групп, моль/моль
		мкг	нмоль	имп/(мин·нмоль)	имп/(мин·нмоль) SH-групп	
100	25 200	40,0	0,40	9625	1925	5
55	18 600	29,5	0,54	4030	1925	2,09(2)
38	30 700	48,7	1,28	2812	1925	1,46(1)
30	39 700	63,0	2,10	2362	1925	1,23(1)

протеолизу. Промежуточный фрагмент с M_r 70 000 быстро претерпевает ступенчатое расщепление с образованием фрагментов с M_r 55 000, 38 000 и 15 000. Таким образом, в результате ограниченного трипсинолиза субъединица молекулы α -актинина распадается на несколько сравнительно устойчивых фрагментов.

Полученные данные пока не позволяют расположить фрагменты по полипептидной цепи исходной молекулы, однако с помощью метода ограниченного трипсинолиза удалось выяснить распределение остатков цистеина в нативной молекуле белка, экспонированных или скрытых при образовании третичной структуры.

Для выяснения распределения экспонированных сульфидрильных групп α -актинии был модифицирован N-этил-[¹⁴C]малеимидом в неденатурирующих условиях. Полнота модификации проверялась спектрофотометрически с помощью реактива Эллмана. В выбранных условиях модификации в молекулу α -актинина было введено 10 N-этилмалеимидных групп (пять на одну полипептидную цепь). Радиоактивно меченный белок далее был подвергнут ограниченному трипсинолизу и ход гидролиза анализировался электрофорезом в ПААГ в присутствии SDS с последующей флуорографией полиакриламидного геля (рис. 2). Оказалось, что экспонированные остатки цистеина содержатся во всех фрагментах гидролизата.

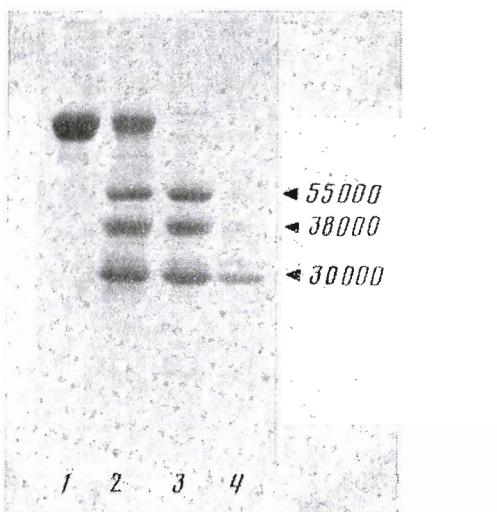
Для количественного определения распределения SH-групп в продуктах ограниченного трипсинолиза α -актинин, меченный N-этил-[¹⁴C]малеимидом по экспонированным SH-группам, был подвергнут ограниченному трипсинолизу в течение 10 мин в условиях предыдущего опыта и продукты гидролиза разделены электрофорезом в ПААГ в присутствии SDS. В качестве внутреннего стандарта к гидролизату был добавлен α -актинин, модифицированный N-этил-[¹⁴C]малеимидом, с известной концентрацией и удельной радиоактивностью. После электрофореза и окраски гель сканировали для определения количества каждого фрагмента и определяли количество радиоактивной метки в каждой полосе (таблица).

Таким образом, в результате количественного обсчета обнаружено, что фрагмент с M_r 55 000 содержит две экспонированные SH-группы, а фрагмент с M_r 30 000 — одну. Поскольку в исходном белке модифицируются пять остатков цистеина на полипептидную цепь, а во фрагментах содержится около трех остатков цистеина, то два цистеина, по-видимому, входят в состав мелких пептидов, являющихся продуктами деградации.

Для локализации «маскированных» остатков цистеина α -актинин был модифицирован в неденатурирующих условиях немеченым N-этилмалеимидом и затем подвергнут ограниченному трипсинолизу в течение 10 мин в условиях предыдущего эксперимента. Затем продукты ограниченного трипсинолиза после их денатурации SDS были обработаны N-этил-[¹⁴C]малеимидом и проанализированы электрофорезом в ПААГ в присутствии SDS с последующей флуорографией.

Оказалось (рис. 3), что все «маскированные» остатки цистеина локализованы во фрагменте с M_r 30 000. Из этих результатов следует, что основной фрагмент с M_r 30 000 не является продуктом деградации фрагмента с M_r 55 000, а возникает в результате отщепления от исходной полипептидной цепи.

Рис. 3. Флуорография SDS-электрофореграммы в ПААГ α -актинина (1) и продуктов трипсинолиза α -актинина, радиоактивно меченные N-этил-[¹⁴C]малеимидом по экспонированным (2, 3) и «маскированным» (4) SH-группам. (Условия трипсинолиза — см. рис. 2; время инкубации 10 мин)



Из полученных данных ясно, что полипептидная цепь субъединицы α -актинина имеет сложную структурную организацию и экспонированные сульфгидрильные группы распределены во всех фрагментах полипептидной цепи, а «внутренние» сконцентрированы только в одном фрагменте.

Экспериментальная часть

В работе использованы N-этил-[2,3-¹⁴C]малеимид (Amersham, Англия), 5,5'-дитиобис(2-нитро)бензойная кислота (Serva, ФРГ), трипсин (Worthington, США), сефадекс G-25 (Pharmacia, Швеция), набор реактивов для диск-электрофореза в полиакриламидном геле (Bio-Rad, США), рентгеновская пленка X-Omat (Kodak, США). Все остальные реактивы имели квалификацию ос. ч.

α -Актинин был получен из спицных мышц кролика по методу, описанному в работе [11].

Концентрацию белка определяли спектрофотометрически при 280 нм, принимая величину удельного поглощения для α -актинина $A_{278}^{1\%}$ равной 9,71 [5].

Количество SH-групп определяли по методу, описанному в работе [12].

Электрофорез в полиакриламидном геле в присутствии додецилсульфата натрия проводили в градиенте концентрации поликариламида 9–25% по методу Леммли [13]. Для определения молекулярных масс α -актинина и фрагментов ограниченного трипсинолиза использовали стандартную смесь (в скобках приведена относительная молекулярная масса), содержащую фосфорилазу Б (97 400), бычий альбумин (66 000), яичный альбумин (45 000), альдолазу (29 000), соевый ингибитор трипсина (20 100), α -лактальбумин (14 200).

Флуорографию поликариламидных гелей проводили по методу, описанному в работе [14]. Экспозиция электрофореграммы продуктов трипсинолиза α -актинина, меченного N-этил-[¹⁴C]малеимидом по экспонированным SH-группам, составляла 120 ч, а для продуктов трипсинолиза α -актинина, меченного по «маскированным» SH-группам, – 60 ч.

Сканирование окрашенных электрофореграмм для количественной оценки хода ограниченного трипсинолиза и распределения радиоактивной метки в продуктах трипсинолиза проводили на сканирующем спектрофотометре-флуориметре MQ-3 (Opton, ФРГ), спажженном интегратором 3373 В и калькулятором 9810 А (Hewlett-Packard, США).

Модификация SH-групп в α -актинине N-этил-[¹⁴C]малеимидом. Для модификации экспонированных SH-групп к раствору α -актинина (4 мг/мл) в 5 мл 0,1 М трис-HCl-буфера, pH 8,0, 1 mM EDTA добавляли 1 мл раствора (30 мкмоль) N-этил-[¹⁴C]малеимида (уд. акт. 8,4 мCi/ммоль). Смесь инкубировали 30 мин при 25° С, затем реакцию останавливали до-

бавлением раствора дитиотреита до концентрации 1 мМ (13 мкл 0,5 М раствора) и смесь обессоливали на колонке с сефадексом G-25, уравненноенным тем же буфером. Для модификации «маскированных» SH-групп реакцию проводили аналогично с немеченым N-этилмалеимидом, а затем в тех же условиях модифицировали продукты ограниченного трипсинолиза N-этил-[¹⁴C]малеимидом.

ЛИТЕРАТУРА

1. Ebashi S., Ebashi F. J. Biochem., 1965, v. 58, № 1, p. 7–12.
2. Schollmeyer J. E., Goll D. E., Tilney L., Mooseker M., Robson R. M., Stromer M. H. J. Cell Biol., 1974, v. 63, № 2, p. 304a.
3. Yeltman D. K., Jung G., Carraway K. L. Biochim. et biophys. acta, 1981, v. 668, № 2, p. 201–208.
4. Schook W., Ores C., Puszkin S. Biochem. J., 1978, v. 175, № 1, p. 63–72.
5. Suzuki A., Goll D. E., Singh I., Allan R. E., Robson R. M., Stromer M. H. J. Biol. Chem., 1976, v. 251, № 21, p. 6860–6870.
6. Singh I., Goll D. E., Robson R. M., Stromer M. H. Biochim. et biophys. acta, 1977, v. 491, № 1, p. 29–45.
7. Bretscher K., Vanderkerckhove J., Weber K. Eur. J. Biochem., 1979, v. 100, № 1, p. 237–243.
8. Kobayashi R., Itoh H., Tashima J. Eur. J. Biochem., 1983, v. 133, № 3, p. 607–611.
9. Симонидзе М. Ш.. Надирашвили Н. Ш., Заалишвили М. М. Изв. АН ГССР. Сер. биол., 1980, т. 6, № 3, с. 285–287.
10. Надирашвили Н. Ш., Симонидзе М. Ш. Биофизика, 1982, т. 27, вып. 4, с. 554–556.
11. Pinter K., Jancso A., Biro E. N. A. Acta biochim. et biophys. Acad. sci. hung., 1980, v. 15, № 3, p. 217–222.
12. Торчинский Ю. М. Серы в белках. М.: Наука, 1977, с. 127–129.
13. Laemmli U. K. Nature, 1970, v. 227, p. 680–685.
14. Остерман Л. А. Методы исследования белков и нуклеиновых кислот. М.: Наука, 1981, с. 113–116.

Поступила в редакцию
14.VI.1984
После доработки
18.IX.1984

LIMITED TRYPSINOLYSIS OF α -ACTinin AND DISTRIBUTION OF SULFHYDRYL GROUPS IN THE FRAGMENTS OF MOLECULE

KURIDZE K. Sh., SIMONIDZE M. Sh., NADIRASHVILI N. Sh.,
ZAALISHVILI M. M.

Institute of Physiology, Academy of Sciences of the Georgian
SSR, Tbilisi

Incubation of α -actinin with trypsin leads to the formation of several fragments with molecular weight of 55 000, 38 000, 30 000 and 15 000 which are rather resistant against further proteinase action. Two from five exposed cysteine residues modified by N-ethylmaleimide in the polypeptide chain of the subunit are located in the 55 000 fragment, one in the 30 000 fragment, and the remaining two appear to belong to those parts of the polypeptide chain that are subject to degradation to small peptides under the action of trypsin. Masked SH-groups are localized to the 30 000 fragment.